

Cinématique et lois de comportement des milieux curvilignes élastiques

Cinématique, déformations des poutres curvilignes

Hypothèses cinématiques :

On suppose que les sections droites de la poutre se déplacent **sans déformation**.

⇒ elles ont un **déplacement de solide rigide**

(sections droites dimension faible par rapport à la longueur de la poutre)

$$\vec{u}(M \in S(s)) = \underbrace{\vec{u}(G(s))}_{\text{déplacement}} + \underbrace{\vec{\omega}(s)}_{\text{rotation}} \wedge \overrightarrow{GM}$$

du centre de gravité $G(s)$ de la section droite (S)

Torseur déplacement défini par : $\{\mathcal{U}(s)\} = \left\{ \begin{array}{c} \vec{\omega}(s) \\ \vec{u}(G(s)) = \vec{u}(s) \end{array} \right\}_G$

Déformations :

Torseur des déformations : $\{\mathcal{D}(s)\} = \left\{ \frac{d\mathcal{U}(s)}{ds} \right\}_G$

Cherchons ses éléments de réduction en G

- Sa résultante :

$$\{\mathcal{U}(s)\} = \left\{ \begin{matrix} \vec{\omega}(s) \\ \vec{u}(G(s)) = \vec{u}(s) \end{matrix} \right\}_G$$

$$\vec{\gamma}(s) = \frac{d\vec{\omega}(s)}{ds} \quad \text{rotation unitaire de la section droite}$$

- Son moment :

on dérive le moment de $\{\mathcal{U}(s)\}$ en O **point fixe**

$$\vec{u}(O) = \vec{u}(G) + \overrightarrow{OG} \wedge \vec{\omega} \Rightarrow \frac{d\vec{u}(0)}{ds} = \vec{\varepsilon}(0) = \frac{d\vec{u}(s)}{ds} + \frac{d\overrightarrow{OG}}{ds} \wedge \vec{\omega}(s) + \overrightarrow{OG} \wedge \frac{d\vec{\omega}(s)}{ds}$$

donc $\vec{\varepsilon}(0) = \vec{\varepsilon}(s) + \overrightarrow{OG} \wedge \vec{\gamma}(s)$ avec le **vecteur déformation**

$$\vec{\varepsilon}(s) = \frac{d\vec{u}(s)}{ds} + \vec{t}(s) \wedge \vec{\omega}(s)$$

$$\Rightarrow \text{torseur des déformations : } \{\mathcal{D}(s)\} = \left\{ \begin{matrix} \vec{\gamma}(s) = \frac{d\vec{\omega}(s)}{ds} \\ \vec{\varepsilon}(s) = \frac{d\vec{u}(s)}{ds} + \vec{t}(s) \wedge \vec{\omega}(s) \end{matrix} \right\}_G$$

2

Dans le repère de Frénet $(\vec{t}, \vec{n}, \vec{b})$

$$\begin{aligned} \vec{\gamma}(s) &= \frac{d\vec{\omega}(s)}{ds} = \frac{d}{ds} [\omega_t(s)\vec{t} + \omega_n(s)\vec{n} + \omega_b(s)\vec{b}] \\ &= \frac{d\omega_t(s)}{ds}\vec{t} + \frac{d\omega_n(s)}{ds}\vec{n} + \frac{d\omega_b(s)}{ds}\vec{b} + \omega_t(s)\frac{d\vec{t}}{ds} + \omega_n(s)\frac{d\vec{n}}{ds} + \omega_b(s)\frac{d\vec{b}}{ds} \end{aligned}$$

$$\text{or } \frac{d\vec{t}(s)}{ds} = \frac{\vec{n}(s)}{R_c(s)} ; \quad \frac{d\vec{n}(s)}{ds} = -\frac{\vec{t}(s)}{R_c(s)} + \frac{\vec{b}(s)}{R_t(s)} ; \quad \frac{d\vec{b}(s)}{ds} = -\frac{\vec{n}(s)}{R_t(s)}$$

On trouve alors $\vec{\gamma}(s) = \gamma_t(s)\vec{t} + \gamma_n(s)\vec{n} + \gamma_b(s)\vec{b}$

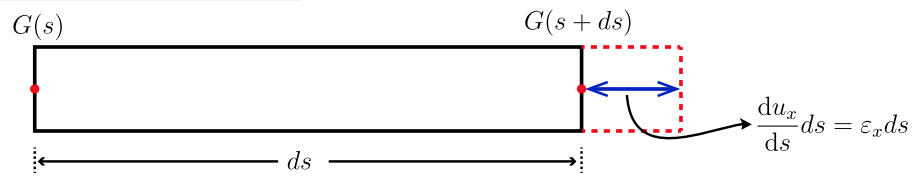
avec

$$\begin{cases} \gamma_t(s) &= \frac{d\omega_t(s)}{ds} - \frac{\omega_n(s)}{R_c(s)} \\ \gamma_n(s) &= \frac{d\omega_n(s)}{ds} + \frac{\omega_t(s)}{R_c(s)} - \frac{\omega_b(s)}{R_t(s)} \\ \gamma_b(s) &= \frac{d\omega_b(s)}{ds} + \frac{\omega_n(s)}{R_t(s)} \end{cases}$$

3

5

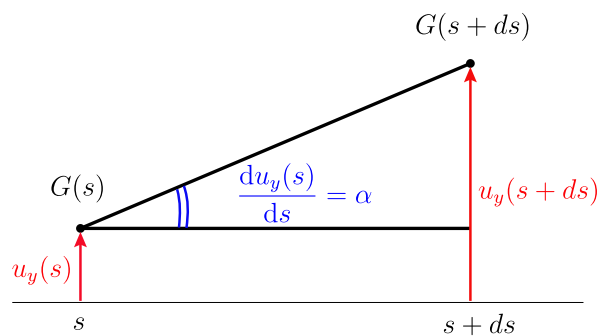
$$\varepsilon_t = \varepsilon_x = \frac{du_x}{ds} + (\vec{x} \wedge \vec{\omega}) \cdot \vec{x} = \frac{du_x}{ds}$$



ε_t est l'**allongement unitaire** $\equiv \varepsilon_{xx}$ en 3D

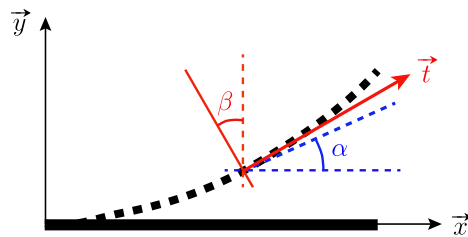
$$\varepsilon_n = \varepsilon_y = \frac{du_y}{ds} + (\vec{x} \wedge \vec{\omega}) \cdot \vec{y} = \frac{du_y}{ds} - \omega_z$$

* $\frac{du_y}{ds}$: rotation du vecteur $\overrightarrow{G(s)G(s+ds)}$ dans le plan (xy) notée ici α



6

* $\vec{x} \wedge \vec{\omega} = -(\vec{\omega} \wedge \vec{x})$: variation du vecteur tangent \vec{t} lié à la section droite



$-(\vec{\omega} \wedge \vec{x})_y = \omega_z$: rotation dans le plan (xy) de la section droite notée β

$$\Rightarrow \varepsilon_y = \frac{du_y}{ds} - (\vec{\omega} \wedge \vec{x})_y = \alpha - \beta$$

compare les rotations de la tangente à la fibre $G(s)G(s+ds)$ et de la section droite
représente l'effet de l'**effort tranchant** $\equiv \varepsilon_{xy}$ en 3D

Rq: Si $\alpha - \beta \neq 0$ la section droite ne reste pas \perp à la déformée de la ligne moyenne

$$\text{On peut utiliser le même raisonnement pour } \varepsilon_b = \varepsilon_z = \frac{du_z}{ds} + (\vec{x} \wedge \vec{\omega}) \cdot \vec{z} = \frac{du_z}{ds} + \omega_y$$

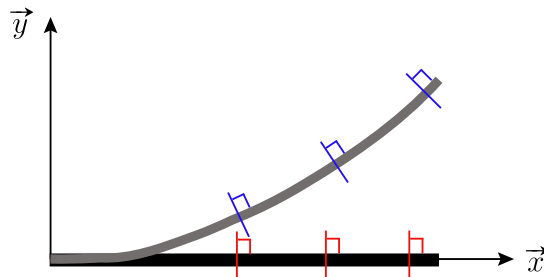
représente l'effet de l'**effort tranchant** $\equiv \varepsilon_{xz}$ en 3D

7

Hypothèse d'Euler-Bernoulli

On néglige l'effet de l'effort tranchant dans la déformation $\Rightarrow \varepsilon_n(s) = \varepsilon_b(s) = 0$
 dans ce cas : $\alpha = \beta$

Toute section droite reste perpendiculaire à la déformée de la ligne moyenne au cours de la déformation



Rq: Négliger les efforts tranchants T_n et T_b dans les lois de comportement
 \Rightarrow disparaissent dans les équations d'équilibre

8

Cas des poutres droites tridimensionnelles

On considère une poutre droite ($s \equiv x \quad \vec{t} = \vec{x}$)

$$\vec{u}(M \in S(s)) = \vec{u}(G(s)) + \vec{\omega}(s) \wedge \overrightarrow{GM}$$

$$\text{avec } \vec{u}(M(x, y, z)) = \begin{pmatrix} u_x^M(x, y, z) \\ u_y^M(x, y, z) \\ u_z^M(x, y, z) \end{pmatrix}; \quad \vec{u}(G(x)) = \begin{pmatrix} u_x^G(x) \\ u_y^G(x) \\ u_z^G(x) \end{pmatrix} = \begin{pmatrix} u_x(x) \\ u_y(x) \\ u_z(x) \end{pmatrix}$$

$$\text{et } \vec{\omega}(x) = \begin{pmatrix} \omega_x(x) \\ \omega_y(x) \\ \omega_z(x) \end{pmatrix}; \quad \overrightarrow{GM} = \begin{pmatrix} 0 \\ y \\ z \end{pmatrix}$$

$$\Rightarrow \begin{cases} u_x^M(x, y, z) = u_x(x) + z \omega_y(x) - y \omega_z(x) \\ u_y^M(x, y, z) = u_y(x) - z \omega_x(x) \\ u_z^M(x, y, z) = u_z(x) + y \omega_x(x) \end{cases}$$

Modèle de Timoshenko

9

Calcul des déformations

Sous HPP, les déformations s'écrivent : $\bar{\bar{\varepsilon}} = \frac{1}{2} \left(\overline{\text{grad}} \vec{u} + {}^T \overline{\text{grad}} \vec{u} \right)$

$$\Rightarrow \begin{cases} \varepsilon_{xx} = \frac{\partial u_x^M}{\partial x} = \frac{du_x}{dx} + z \frac{d\omega_y}{dx} - y \frac{d\omega_z}{dx} \\ 2\varepsilon_{xy} = \frac{\partial u_x^M}{\partial y} + \frac{\partial u_y^M}{\partial x} = -\omega_z + \frac{du_y}{dx} - z \frac{d\omega_x}{dx} \\ 2\varepsilon_{xz} = \frac{\partial u_x^M}{\partial z} + \frac{\partial u_z^M}{\partial x} = \omega_y + \frac{du_z}{dx} + y \frac{d\omega_x}{dx} \\ \varepsilon_{yy} = \varepsilon_{zz} = \varepsilon_{yz} = 0 \end{cases}$$

soit
$$\bar{\bar{\varepsilon}} = \begin{pmatrix} \varepsilon_{xx} & \varepsilon_{xy} & \varepsilon_{xz} \\ \varepsilon_{xy} & 0 & 0 \\ \varepsilon_{xz} & 0 & 0 \end{pmatrix}$$

10

allongement unitaire dans la direction de la ligne moyenne

$$\varepsilon_{xx} = \varepsilon_x + z \gamma_y - y \gamma_z$$

où $\varepsilon_x = \frac{du_x}{dx}$; $\gamma_y = \frac{d\omega_y}{dx}$; $\gamma_z = \frac{d\omega_z}{dx}$

$$\begin{cases} \varepsilon_{xx} = \frac{\partial u_x^M}{\partial x} = \frac{du_x}{dx} + z \frac{d\omega_y}{dx} - y \frac{d\omega_z}{dx} \\ 2\varepsilon_{xy} = \frac{\partial u_x^M}{\partial y} + \frac{\partial u_y^M}{\partial x} = -\omega_z + \frac{du_y}{dx} - z \frac{d\omega_x}{dx} \\ 2\varepsilon_{xz} = \frac{\partial u_x^M}{\partial z} + \frac{\partial u_z^M}{\partial x} = \omega_y + \frac{du_z}{dx} + y \frac{d\omega_x}{dx} \end{cases}$$

distorsions

$$2\varepsilon_{xy} = \varepsilon_y - z \gamma_x$$

et

$$2\varepsilon_{xz} = \varepsilon_z + y \gamma_x$$

où $\varepsilon_y = \frac{du_y}{dx} - \omega_z$; $\varepsilon_z = \frac{du_z}{dx} + \omega_y$; $\gamma_x = \frac{d\omega_x}{dx}$

normalement σ_{yy} et σ_{zz} **non nulles** (d'après loi de cpt $\bar{\bar{\sigma}} = 2\mu \bar{\bar{\varepsilon}} + \lambda \text{Tr} \bar{\bar{\varepsilon}} \bar{\bar{1}}$)

mais négligées par cohérence avec la théorie des milieux curvilignes (dimensions transversales petites devant la dimension longitudinale)

$$\Rightarrow \bar{\bar{\sigma}} = \begin{pmatrix} \sigma_{xx} & \sigma_{xy} & \sigma_{xz} \\ \sigma_{xy} & 0 & 0 \\ \sigma_{xz} & 0 & 0 \end{pmatrix}$$

11